

# CIFAR - 10

PROYECTO ELECTIVO DATA SCIENCE

## DESCRIPCIÓN BREVE

CIFAR-10 es un conjunto de datos de visión por computadora utilizado para el reconocimiento de objetos.

La finalidad de este proyecto es reconocer una imagen y predecir a cuál de las 10 clases de CIFAR-10 pertenece.

## INTEGRANTES

Francisca Alejandra Hernández Piña

Marcelo Antonio Lazo Chávez

## CONTENIDO

1.	Contexto del Proyecto.....	1
2.	Análisis de Distribución y Limpieza de Datos.....	2
3.	Desarrollo y Testing de los Modelos.....	3
	Red Neuronal Convolucional (CNN).....	3
	Aplicación de PCA.....	5
	Random Forest.....	5
	Regresión Logística.....	6
	SVM.....	6
	KNN.....	6
4.	Selección del Mejor Modelo.....	7
5.	Aplicación y Conclusiones.....	8

## ÍNDICE DE FIGURAS

Figura 1:	Conjunto de datos CIFAR-10.....	1
Figura 2:	Distribución de imágenes para los modelos.....	1
Figura 3:	Distribución de datos CIFAR-10.....	2
Figura 4:	Composición de una imagen.....	2
Figura 5:	Fórmula Normalización.....	2
Figura 6:	Imagen normalizada.....	2
Figura 7:	Imagen sin normalizar.....	2
Figura 8:	Convoluciones.....	3
Figura 9:	Definición y entrenamiento del modelo CNN.....	4
Figura 10:	Matriz de confusión CNN.....	4
Figura 11:	Reporte de clasificación CNN.....	4
Figura 12:	Gráfico Varianza vs K en PCA.....	5
Figura 13:	Matriz de confusión y reporte de clasificación Random Forest.....	5
Figura 14:	Matriz de confusión y reporte de clasificación Regresión Logística.....	6
Figura 15:	Matriz de confusión y reporte de clasificación SVM.....	6
Figura 16:	Matriz de confusión y reporte de clasificación kNN.....	6
Figura 17:	Comparación de precisión de modelos.....	7
Figura 18:	Selección de imagen de prueba.....	8
Figura 19:	Predicción incorrecta del modelo.....	8
Figura 20:	Predicción correcta del modelo.....	8

## 1. CONTEXTO DEL PROYECTO

CIFAR-10 es un conjunto de datos de visión por computadora utilizado para el reconocimiento de objetos.

Este conjunto de datos contiene 60,000 imágenes en color de 32x32 píxeles distribuidas en 10 clases de objetos, con 6,000 imágenes por clase, estas son:

- Aviones
- Automóviles
- Pájaros
- Gatos
- Venados
- Perros
- Ranas
- Caballos
- Barcos
- Camiones

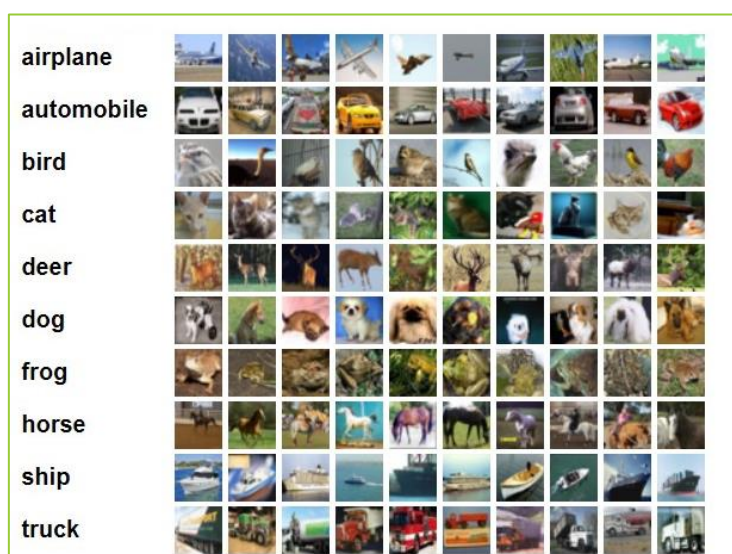


Figura 1: Conjunto de datos CIFAR-10

Fuente: <https://www.cs.toronto.edu/~kriz/cifar.html>

De este total de 60,000 imágenes, 50,000 son para entrenamiento y 10,000 para testeo. Para este proyecto en específico, se quitó el 10% de imágenes de entrenamiento para hacer la validación, quedando la distribución de datos de la siguiente forma:



Figura 2: Distribución de imágenes para los modelos

Fuente: Elaboración propia

La finalidad de este proyecto es reconocer una imagen y predecir a cuál de las 10 clases de CIFAR-10 pertenece.

## 2. ANÁLISIS DE DISTRIBUCIÓN Y LIMPIEZA DE DATOS

Los datos que se analizarán se encuentran distribuidos en 6 archivos denominados *batches*, cada uno posee un conjunto de 10,000 imágenes, siendo uno de estos utilizado como información de testeo de los modelos. A continuación, se muestra una imagen con la distribución:

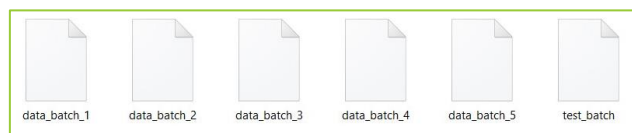


Figura 3: Distribución de datos CIFAR-10

Fuente: Elaboración propia

La dimensión de una imagen a color es de 32x32 píxeles y se compone de 3 canales (*Red, Green, Blue* = RGB) por cada píxel presente en ellas. Los valores de cada canal varían entre 0 a 255, lo que permite colorear cada píxel de la imagen. Considerando lo anterior, se tiene  $32 \times 32 \times 3 = 3072$  datos por imagen.

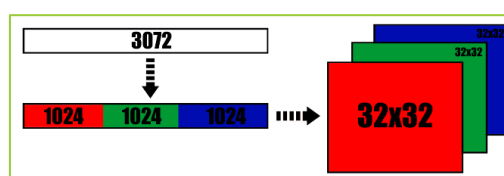


Figura 4: Composición de una imagen

Fuente: Elaboración propia

Dado a la composición de los datos que se utilizarán, no es necesario realizar una limpieza de datos exhaustiva como se ha hecho durante el curso. En este caso solo se realiza una normalización aplicando la fórmula vista en clases:

$$\bar{x}^{(j)} = \frac{x^{(j)} - \min^{(j)}}{\max^{(j)} - \min^{(j)}}$$

Figura 5: Fórmula Normalización

Fuente: Apuntes Clases Data Science

A modo de ejemplificar, en las siguientes figuras se puede observar una imagen sin normalizar y una normalizada.

	0	1	2	3	4
0	59	62	63	43	46
1	77	125	99	76	142
2	105	69	136	105	74
3	16	20	20	0	0
4	37	101	67	35	105

Figura 7: Imagen sin normalizar

Fuente: Elaboración propia

	0	1	2	3	4
0	0.952381	0.956349	0.984127	0.952381	0.956349
1	0.972222	0.968254	0.980159	0.972222	0.972222
2	0.968254	0.980095	0.972222	0.968254	0.980095
3	0.964286	0.956349	0.984127	0.964286	0.956349
4	0.984127	0.976190	0.968254	0.980095	0.968254

Figura 6: Imagen normalizada

Fuente: Elaboración propia

La normalización se realiza para que todas las imágenes tengan una escala en común, además, permite que los modelos la trabajen como una distribución normal.

### 3. DESARROLLO Y TESTING DE LOS MODELOS

En este proyecto se utilizaron los siguientes modelos:

- Red neuronal convolucional
- PCA
- Random Forest
- Regresión Logística
- SVM
- KNN

Cabe mencionar qué, a excepción de la red neuronal convolucional, todos los modelos restantes utilizaron la técnica PCA para reducir la dimensionalidad del dataset e identificar estructuras internas en estos.

#### RED NEURONAL CONVOLUCIONAL (CNN)

Para crear una red neuronal convolucional se necesita hacer uso de la biblioteca de Machine Learning **TensorFlow** y de la biblioteca de redes neuronales **Keras**.

El formato de trabajo de la biblioteca Keras se basa en un modelo secuencial, es decir, una pila lineal de capas que se ejecutan de forma secuencial valga la redundancia. Además, se hace uso de las convoluciones, estas consisten en tomar “grupos de píxeles cercanos” a los cuales se les aplica producto escalar contra una matriz de dimensiones reducidas llamada *kernel* para generar una nueva matriz de salida, a este proceso se le llama **filtro**. Luego a estas matrices generadas se les aplica la función de activación **ReLU**, función que se encarga de transformar todos los números negativos a 0. Cabe señalar que se realizan múltiples **filtros** a cada una de las imágenes.

Finalmente, se aplica el proceso *subsampling* que reduce el tamaño de las imágenes filtradas, teniendo como objetivo dejar las características más importantes de cada filtro. Para este modelo se hace uso de *Max-Pooling* como método de *subsampling*.

Finalizada la etapa anterior, las capas convolucionales se transforman a capas de una red neuronal tradicional, en otras palabras, la matriz de  $n \times n \times m$  se transforma en un vector columna de  $n \times n \times m$  filas. Por último, el modelo se entrena como una red neuronal tradicional.

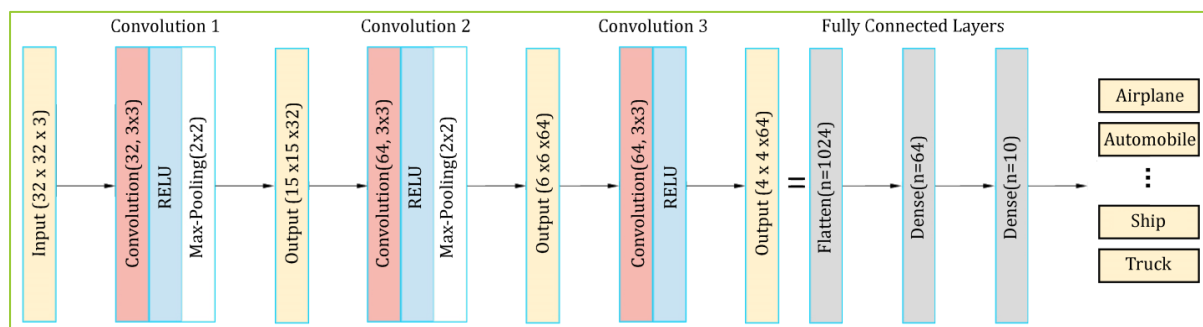


Figura 8: Convoluciones

Fuente: Elaboración propia

A continuación, se muestra el código asociado para la creación del modelo, su entrenamiento y resultados respectivos:

```
model = models.Sequential()
model.add(layers.Conv2D(32, (3, 3), activation='relu', input_shape=(32, 32, 3)))
model.add(layers.MaxPooling2D((2, 2)))
model.add(layers.Conv2D(64, (3, 3), activation='relu'))
model.add(layers.MaxPooling2D((2, 2)))
model.add(layers.Conv2D(64, (3, 3), activation='relu'))
model.add(layers.Flatten())
model.add(layers.Dense(64, activation='relu'))
model.add(layers.Dense(10))
model.compile(optimizer='adam',
              loss=tf.keras.losses.SparseCategoricalCrossentropy(from_logits=True),
              metrics=['accuracy'])
history = model.fit(train_data, train_label, epochs=10,
                    validation_data=(validation_data, validation_label))
```

Figura 9: Definición y entrenamiento del modelo CNN

Fuente: Elaboración propia

```
[[720 26 66 26 24 7 18 8 67 38]
 [ 17 836 8 10 9 7 13 5 14 81]
 [ 55 7 637 51 57 78 70 20 10 15]
 [ 18 10 73 522 47 187 87 32 8 16]
 [ 23 4 106 90 563 58 87 59 8 2]
 [ 11 2 59 161 30 649 34 42 5 7]
 [ 8 5 44 51 17 32 826 7 4 6]
 [ 10 3 35 59 62 94 9 704 5 19]
 [ 58 47 21 17 6 11 6 5 790 39]
 [ 17 66 9 17 7 11 11 18 19 825]]
```

Figura 10: Matriz de confusión CNN

Fuente: Elaboración propia

	precision	recall	f1-score	support
0	0.77	0.72	0.74	1000
1	0.83	0.84	0.83	1000
2	0.60	0.64	0.62	1000
3	0.52	0.52	0.52	1000
4	0.68	0.56	0.62	1000
5	0.57	0.65	0.61	1000
6	0.71	0.83	0.76	1000
7	0.78	0.70	0.74	1000
8	0.85	0.79	0.82	1000
9	0.79	0.82	0.81	1000
accuracy			0.71	10000
macro avg	0.71	0.71	0.71	10000
weighted avg	0.71	0.71	0.71	10000

Figura 11: Reporte de clasificación CNN

Fuente: Elaboración propia



## APLICACIÓN DE PCA

Dado que el dataset tiene un total de 3072 columnas por imagen, se tomó la decisión de aplicar esta técnica para reducir sus dimensiones y posteriormente utilizar modelos más estándar. En palabras simples, se utilizó la técnica PCA para calcular la cantidad de componentes del modelo. Además, se buscó un k óptimo para que se tuviese una varianza aproximada de 99%, siendo este valor 658.

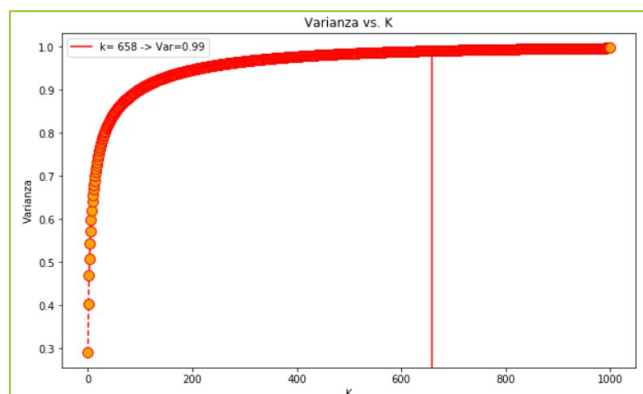


Figura 12: Gráfico Varianza vs K en PCA  
Fuente: Elaboración propia

Finalmente, al momento de entrenar los modelos con los datos sin normalizar/normalizados, se observó que la variación en la precisión de los modelos no fue alta, por tanto, normalizando o no, no fue relevante para la predicción de imágenes de cada uno de los modelos.

## RANDOM FOREST

Resultados del modelo Random Forest:

		precision	recall	f1-score	support
[[480 62 63 37 28 29 34 44 174 49] [ 43 530 22 44 19 25 38 44 65 170] [106 45 266 88 193 75 93 57 45 32] [ 68 69 81 245 78 185 107 60 46 61] [ 60 32 150 68 364 59 136 75 30 26] [ 44 60 106 177 82 306 71 78 46 30] [ 14 52 109 82 130 80 433 42 23 35] [ 56 70 69 90 94 105 54 314 43 105] [125 96 16 42 22 33 16 27 553 70] [ 58 231 21 45 14 28 36 63 87 417]]	0	0.46	0.48	0.47	1000
	1	0.43	0.53	0.47	1000
	2	0.29	0.27	0.28	1000
	3	0.27	0.24	0.26	1000
	4	0.36	0.36	0.36	1000
	5	0.33	0.31	0.32	1000
	6	0.43	0.43	0.43	1000
	7	0.39	0.31	0.35	1000
	8	0.50	0.55	0.52	1000
	9	0.42	0.42	0.42	1000
	accuracy			0.39	10000
	macro avg	0.39	0.39	0.39	10000
	weighted avg	0.39	0.39	0.39	10000

Figura 13: Matriz de confusión y reporte de clasificación Random Forest  
Fuente: Elaboración propia

## REGRESIÓN LOGÍSTICA

Resultados del modelo Regresión Logística:

		precision	recall	f1-score	support
[[491 52 61 32 17 28 23 59 169 68]	0	0.46	0.49	0.48	1000
[ 59 460 35 38 30 45 37 49 80 167]	1	0.46	0.46	0.46	1000
[ 97 45 282 88 116 83 136 82 46 25]	2	0.32	0.28	0.30	1000
[ 41 59 94 255 75 191 137 53 34 61]	3	0.28	0.26	0.27	1000
[ 55 19 140 68 290 94 169 112 28 25]	4	0.35	0.29	0.32	1000
[ 33 42 90 185 90 333 81 72 46 28]	5	0.33	0.33	0.33	1000
[ 20 32 78 130 98 96 460 42 17 27]	6	0.40	0.46	0.43	1000
[ 44 46 74 69 86 87 34 448 37 75]	7	0.45	0.45	0.45	1000
[146 70 24 32 13 35 12 21 539 108]	8	0.50	0.54	0.52	1000
[ 73 180 16 27 18 29 52 57 87 461]]	9	0.44	0.46	0.45	1000
accuracy				0.40	10000
macro avg		0.40	0.40	0.40	10000
weighted avg		0.40	0.40	0.40	10000

Figura 14: Matriz de confusión y reporte de clasificación Regresión Logística

Fuente: Elaboración propia

## SVM

Resultados del modelo Support Vector Machine:

		precision	recall	f1-score	support
[[524 63 55 28 20 12 15 27 150 106]	0	0.56	0.52	0.54	1000
[ 42 627 9 23 13 16 19 27 32 192]	1	0.49	0.63	0.55	1000
[ 83 44 356 88 123 75 101 53 27 50]	2	0.39	0.36	0.37	1000
[ 23 63 83 356 66 185 93 48 18 65]	3	0.35	0.36	0.35	1000
[ 34 25 155 84 379 76 101 91 25 30]	4	0.45	0.38	0.41	1000
[ 18 46 87 217 73 365 57 74 16 47]	5	0.41	0.36	0.38	1000
[ 10 63 81 105 78 54 520 31 10 48]	6	0.54	0.52	0.53	1000
[ 27 61 51 73 78 76 20 493 21 100]	7	0.56	0.49	0.52	1000
[113 91 26 26 11 28 9 11 604 81]	8	0.64	0.60	0.62	1000
[ 55 189 7 22 7 10 28 31 42 609]]	9	0.46	0.61	0.52	1000
accuracy				0.48	10000
macro avg		0.48	0.48	0.48	10000
weighted avg		0.48	0.48	0.48	10000

Figura 15: Matriz de confusión y reporte de clasificación SVM

Fuente: Elaboración propia

## KNN

Resultados del modelo k-Nearest Neighbor:

		precision	recall	f1-score	support
[[196 0 15 3 58 0 2 0 726 0]	0	0.18	0.20	0.19	1000
[123 16 7 4 112 0 4 0 734 0]	1	1.00	0.02	0.03	1000
[105 0 53 6 204 2 2 0 628 0]	2	0.29	0.05	0.09	1000
[ 96 0 14 16 172 1 1 0 700 0]	3	0.21	0.02	0.03	1000
[ 77 0 10 3 283 0 2 0 625 0]	4	0.17	0.28	0.21	1000
[111 0 22 11 174 2 1 0 679 0]	5	0.25	0.00	0.00	1000
[ 75 0 11 11 241 1 15 0 646 0]	6	0.48	0.01	0.03	1000
[122 0 24 12 237 1 3 2 599 0]	7	1.00	0.00	0.00	1000
[ 77 0 6 2 46 0 0 0 869 0]	8	0.13	0.87	0.22	1000
[ 86 0 18 10 142 1 1 0 741 1]]	9	1.00	0.00	0.00	1000
accuracy				0.15	10000
macro avg		0.47	0.15	0.08	10000
weighted avg		0.47	0.15	0.08	10000

Figura 16: Matriz de confusión y reporte de clasificación kNN

Fuente: Elaboración propia



## 4. SELECCIÓN DEL MEJOR MODELO

Para este proyecto en específico, la métrica del modelo más relevante es la precisión, ya que solo importa si el modelo es preciso al momento de identificar una imagen.

Entonces, ¿qué modelo es el mejor para reconocer imágenes?

```
RandomForestClassifier : 0.3908  
K Nearest Neighbors : 0.1453  
Logistic Regression : 0.4019  
Support Vector Classifier : 0.4833
```

```
print(test_acc) # Precisión CNN
```

```
0.7088
```

Figura 17: Comparación de precisión de modelos

Fuente: Elaboración propia

Tal como se aprecia en la figura anterior, al comparar los resultados de las métricas de cada modelo, se deduce que el mejor modelo aplicado son las redes neuronales convolucionales.

¿Por qué?

Porque tiene una precisión mucho mayor que el resto de los modelos la cual es del 70.88%.

## 5. APLICACIÓN Y CONCLUSIONES

Finalmente, se crea una función que extrae una imagen del dataset de prueba (indicando de 0 a 9999 por parámetro para elegir la imagen), la cual se entrega al modelo creado y predice a que clase pertenece.

En el siguiente ejemplo, se puede observar que el modelo encuentra cierto porcentaje de similitud de la imagen (caballo) con los elementos: caballo, perro, venado, gato y ave. El modelo asigna porcentajes de similitud a cada elemento, en este caso, predice que la imagen pertenece a un caballo ya que es el porcentaje más alto existente.

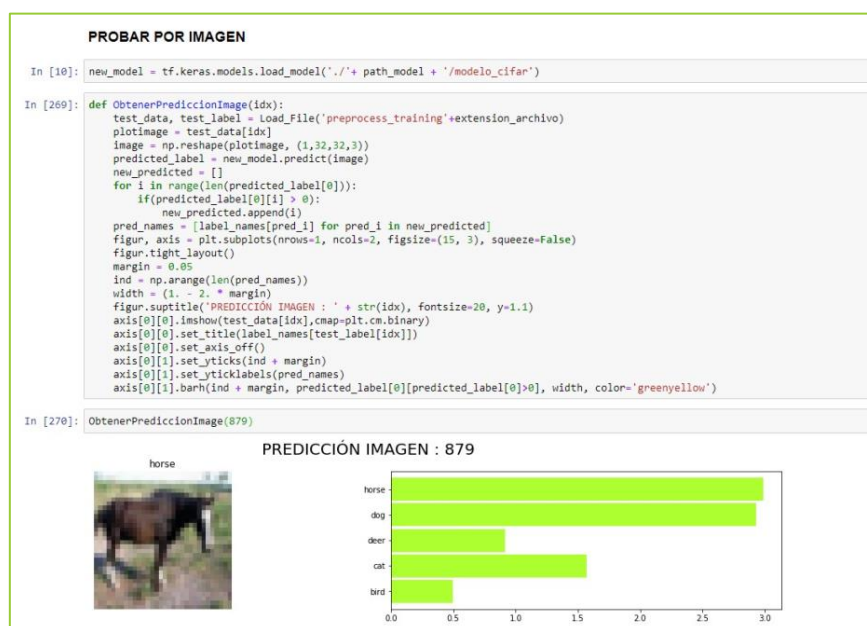


Figura 18: Selección de imagen de prueba  
Fuente: Elaboración propia

Para mostrar las predicciones correctas/incorrectas del modelo, se opta por mostrar la predicción correspondiente (en las figuras aparece como “ganador”) y si esta respuesta es o no válida.



Figura 20: Predicción correcta del modelo  
Fuente: Elaboración propia



Figura 19: Predicción incorrecta del modelo  
Fuente: Elaboración propia